

# 電流形インバータで駆動される同期電動機の基礎特性

大口國臣\*, 蛭田芳和\*\*

(昭和53年9月8日受理)

## Basic Characteristics of a Current Source Inverter-fed Synchronous Motor

KUNIOMI OGUCHI and YOSHIKAZU HIRUTA

**Abstract:** — This paper describes the basic characteristics of a three phase synchronous motor supplied from a current source inverter. The synchronous motor is modeled as a balanced sinusoidal three phase voltage source. Taking into account commutation processes and assuming a inverter input dc current to be constant, the steady state characteristics are analysed. The output current, commutating capacitor voltage and the output power of the inverter are theoretically obtained. The calculated performances are also presented.

The experiment on a synchronous motor drive shows that the commutating period ( $\tau_c$ ) increases as the frequencies are increased and the dc current is decreased. The system becomes unstable when  $\tau_c$  reaches to 1/3 of one period of the inverter output frequency. The theoretical results agree qualitatively with experimental results.

### 1. まえがき

サイリスタインバータによる同期電動機の変速運転は、開ループ制御で高精度の運転が行えるため、繊維工業における紡糸機駆動用など速度制御精度が直接製品品質に大きく影響する分野に広く実用されている。このインバータとして現在用いられているのは、電源インピーダンスが小さく、出力電圧波形が方形波になるいわゆる電圧形インバータである。これに対し、電源インピーダンスが大きく、出力電流波形が方形波になるいわゆる電流形インバータは、電圧形に比べて回路構成が簡単であり、定電流制御のため負荷短絡などの故障に強いなどの長を有するため、誘導電動機のダイナミックドライブ用に主として用いられている。この電流形インバータによる同期電動機の運転は、安定性の問題が未解明であり実用的な安定化の手段が確立されていないこともあって実用化は余り進展しておらず、これに関する研究報告も比較的少ない。<sup>1)~5)</sup>

転流現象を無視した考察から、電流形インバータで駆

動時には同期電動機の不安定条件は存在しないという報告がある。<sup>1)</sup>しかし、電圧形インバータでは負荷に余り影響を及ぼさない転流現象が、電流形の場合には負荷の特性に大きく影響する。この転流現象は一般に数段階にわたって行われるため、その解析も各転流段階毎に行う必要がある。このため、電流形インバータ・同期電動系の解析はかなり複雑になり、解析解を得るのは難しい。

そこで、本論文では同期電動機を正弦波逆起電力負荷で置き換えたモデルを用いることにより解析を容易にして、インバータの動作に主眼をおいて解析を行ない、電流形インバータ・同期電動系の基礎的特性を検討した。

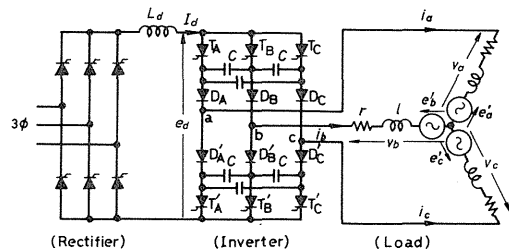


Fig. 1 Current source inverter circuit.

\* 茨城大学工学部電気工学科(日立市中成沢町)

\*\* 動力炉・核燃料開発事業団(茨城県那珂郡東海村大字村松)

2. 解析

図1に示すように、電機子抵抗 $r$ と電機子漏れインダクタンス $l$ を通して三相平衡逆起電力負荷に、直列ダイオード方式の電流形インバータから電力を供給する静止回路について解析を行う。解析に際して、サイリスタ、ダイオードは理想的素子である、インダクタンスは線形である、また直流回路のインダクタンス $L_d$ は十分大きく、直流電流 $I_d$ は平滑であるとする。

2・1 電機子抵抗を無視した解析

図1の回路は定常状態においては $1/6$ 周期毎に同様な動作を繰り返すから、回路の対称性より、 $1/6$ 周期について検討すれば十分である。そこでサイリスタ $T_A$ をトリガした時点( $t = 0$ )より、サイリスタ $T_C$ がトリガされるまで( $t = T/6$ )の $1/6$ 周期について考える。

負荷誘導起電力 $e_a, e_b, e_c$ を

$$\begin{bmatrix} e_a \\ e_b \\ e_c \end{bmatrix} = E_m \begin{bmatrix} \cos(\omega t - \gamma + 2\pi/3) \\ \cos(\omega t - \gamma) \\ \cos(\omega t - \gamma - 2\pi/3) \end{bmatrix} \quad (1)$$

で表わす。ただし、 $E_m$ は相電圧の最大値、 $\omega$ はインバータ-出力電圧の基本波角周波数を表わす。図1に示す $e_a', e_b', e_c'$ は逆起電力を表わすものとする。

(1)式における $\gamma$ は、電機子各相逆起電力に対する電機子基本波電流の位相進み角を表わす。したがって、 $\gamma$ とインバータの動作の関係は次の通りである。

$$\begin{cases} 90^\circ > \gamma > 0 & \text{制御進み角正領域} \\ 0^\circ > \gamma > -90^\circ & \text{制御進み角負領域} \end{cases} \left. \begin{array}{l} \\ \\ \end{array} \right\} \text{インバータ動作}$$

$$\begin{cases} 180^\circ > \gamma > 90^\circ \\ -90^\circ > \gamma > -180^\circ \end{cases} \left. \begin{array}{l} \\ \\ \end{array} \right\} \text{整流器動作}$$

ただし自製式インバータの場合とは異なり、他製式運転時にはこの $\gamma$ は負荷によって変化する。

電流形インバータの動作は、転流遅れ時間、重なり期間および単流期間の三つの期間を経過する。以下、各動作期間の経過に従って解析を進める。

(1)転流遅れ期間( $0 \leq t < \tau_1$ ) 端子C-A間の合成容量を $C (= 1.5C)$ 、その初期電圧を $V_c$ 。(図2に示す極性で、その値は後で決定する)とする。 $T_C, D_C$ が導通状態にあるとき、 $t = 0$ で $T_A$ をトリガす

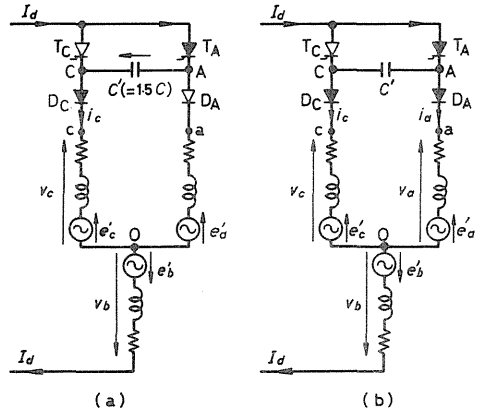


Fig. 2 Equivalent circuits during a commutating process.

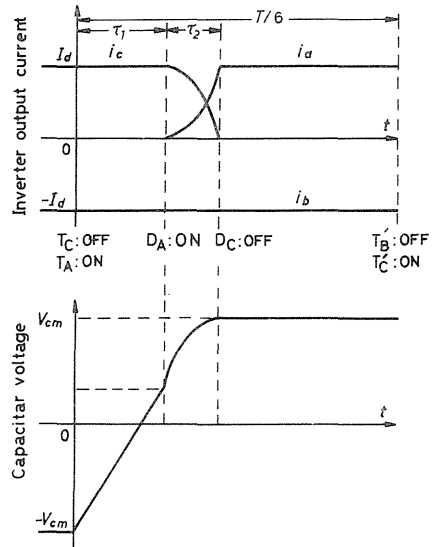


Fig. 3 Waveforms of inverter output current and capacitor voltage.

ると、 $T_C$ は $V_c$ なる逆バイアスがかかり、瞬時にターンオフする。このときダイオード $D_A$ は逆バイアスされているので非導通状態にある。したがって、直流電流 $I_d$ は $T_A - C' - D_C -$ 負荷 $c$ 相-負荷 $b$ 相を通して流れる。すなわち、負荷電流を $c$ 相から $a$ 相へ転流すべくサイリスタ $T_A$ をターンオンしても負荷電流の転流はダイオード $D_A$ の逆バイアスがなくなるまで開始しない。以後、このサイリスタ $T_A$ がトリガされて負荷 $a$ 相に電流が流れ始めるまでの期間

$\tau_1$  (図3 参照) を転流遅れ期間と呼ぶことにする。

この期間中の負荷電流は,

$$\begin{aligned} i_c &= -i_b = I_d \\ i_a &= 0 \end{aligned} \quad (2)$$

となる。コンデンサ電圧  $V_{AC}(t)$  を求めると,

$$V_{AC}(t) = -V_{c0} + I_d t / C^1 \quad (3)$$

枝路 A-C-c-O を通しての A-O 間の電圧と, 枝路 A-a-O を通しての A-O 間の電圧が等しくなるまでこの期間は続く。

継続期間  $\tau_1$  は次式から求まる。

$$e_c^1(\tau_1) - V_{c0} + \frac{1}{C^1} I_d \tau_1 = e_a^1(\tau_1) \quad (4)$$

(1)式を上式に代入して次式を得る。

$$-V_{c0} + \frac{1}{C^1} I_d \tau_1 = \sqrt{3} E_m \sin(\omega \tau_1 - \gamma) \quad (5)$$

この期間の終りにおけるコンデンサ電圧は, (5)式から得られる  $\tau_1$  を(3)式に代入して

$$V_{AC}(\tau_1) = \sqrt{3} E_m \sin(\omega \tau_1 - \gamma) \quad (6)$$

となる。

(2)重なり期間 ( $\tau_1 \leq t \leq \tau_1 + \tau_2$ ) コンデンサ電圧極性が反転し, 負荷電圧との関連から定まる  $t = \tau_1$  において  $D_A$  が順バイアスされると,  $I_d$  が c 相と a 相を通過して流れる重なり期間となる (図2(b)参照)。時間変数を  $\tau (= t - \tau_1)$  に置き換えて, 回路方程式を書くと次のようになる。

$$\left. \begin{aligned} i_a(\tau) + i_c(\tau) &= I_d \\ i_b(\tau) &= -I_d \end{aligned} \right\} \quad (7)$$

$$\begin{aligned} \ell \frac{di_c}{d\tau} + e_c^1 + V_{AC}(\tau_1) + \frac{1}{C^1} \int_0^\tau i_c d\tau \\ = \ell \frac{di_c}{d\tau} + e_a^1 \end{aligned} \quad (8)$$

初期条件,  $i_c(0) = I_d, i_a(0) = 0$  を用いて上の連立微分方程式を解くと,

$$\left. \begin{aligned} i_a(\tau) &= I_d \{ 1 - \mu \cos(\omega_0 \tau - \phi) - \sigma \cos(\omega \tau + \alpha) \} \\ i_c(\tau) &= I_d \{ \mu \cos(\omega_0 \tau - \phi) + \sigma \cos(\omega \tau + \alpha) \} \end{aligned} \right\} \quad (9)$$

ただし,

$$\begin{aligned} \omega_0 &= \frac{1}{\sqrt{2} \ell C^1}, \quad I_m = \sqrt{3} E_m \frac{\omega C^1}{1 - (\omega/\omega_0)^2}, \\ \sigma &= I_m / I_d, \quad \alpha = \omega \tau_1 - \gamma, \quad \lambda = \omega_0 / \omega, \end{aligned}$$

$$\phi = \tan^{-1} \left\{ \frac{(\sigma/\lambda) \sin \alpha}{1 - \sigma \cos \alpha} \right\}$$

$$\mu = \sqrt{(1 - \sigma \cos \alpha)^2 + \{ (\sigma/\lambda) \sin \alpha \}^2}$$

この期間のコンデンサ電圧  $V_{AC}(\tau)$  は,

$$V_{AC}(\tau) = V_{AC}(\tau_1) + \frac{1}{C^1} \int_0^\tau i_c(\tau) d\tau \quad (10)$$

で表わされる。上式に(9)式を代入して次式を得る。

$$\begin{aligned} V_{AC}(\tau) = V_{AC}(\tau_1) + 2 \frac{I_d}{C^1} \left\{ \frac{\mu}{\omega_0} \cos\left(\frac{\omega_0 \tau}{2} - \phi\right) \right. \\ \left. \sin \frac{\omega_0 \tau}{2} + \frac{\sigma}{\omega} \left(\frac{\omega \tau}{2} + \alpha\right) \sin \frac{\omega \tau}{2} \right\} \quad (11) \end{aligned}$$

この期間は  $i_c(\tau) = 0$  まで継続するから, 継続期間  $\tau_2$  は次の超越方程式を解くことによって得られる。

$$I_d \{ \mu \cos(\omega_0 \tau_2 - \phi) + \sigma \cos(\omega \tau_2 + \alpha) \} = 0 \quad (12)$$

この期間の終りにおけるコンデンサ電圧  $V_{AC}(\tau_2)$  は, (12)式から得られる  $\tau_2$  を(11)式に代入することにより求まる。

今,  $V_{AC}(\tau_2) = V_{em}$  とおくと, 定常状態においては回路動作の対称性から  $V_{em}$  は最初に仮定した  $V_{c0}$  とその絶対値は等しい。また,  $V_{em}$  は定常状態における転流コンデンサ電圧の最大値となる。

(5)式から次式を得る。

$$\begin{aligned} -2\sqrt{3} E_m \sin \alpha + \frac{I_d}{C^1} \left[ \tau_1 - 2 \left\{ \frac{\mu}{\omega_0} \cos\left(\frac{\omega_0 \tau_2}{2} - \phi\right) \right. \right. \\ \left. \left. \sin \frac{\omega_0 \tau_2}{2} + \frac{\sigma}{\omega} \cos\left(\frac{\omega \tau_2}{2} + \alpha\right) \sin \frac{\omega \tau_2}{2} \right\} \right] = 0 \end{aligned} \quad (13)$$

(3)単流期間  $D_C$  が非導通になると,

$$\left. \begin{aligned} i_c &= 0 \\ i_a &= I_d = -i_b \end{aligned} \right\} \quad (14)$$

の単流期間となり, この期間は次にサイリスタ  $T_{C1}$  がトリガされるまで続く。

実際に定常状態の特性を求めするには, (12)式と(13)式の  $\tau_1, \tau_2$  に関する連立した超越方程式を数値解析する必要がある。まず,  $\tau_1$  の仮定値  $\tau_1^*$  を(13)式に代入して,  $\tau_2$  に関する超越方程式をニュートン・ラプソン法によって解く。得られた  $\tau_2$  を(12)式に代入して  $\tau_1$  に関する超越方程式をニュートン・ラプソン法によって解き, この  $\tau_1$  が最初に仮定した  $\tau_1^*$  に十分収束するまで反復計算することにより,  $\tau_1, \tau_2$  を求める。

2・2 電機子抵抗を考慮した解析

次に、電機子抵抗  $r$  を考慮して解析を行う。解析手順は前節の場合と同様である。

(1) 転流遅れ期間 この期間では前述の(2), (3)式が成り立ち、継続期間  $\tau_1$  は次の超越方程式を解いて得られる。

$$(I_d / C') \tau_1 = \sqrt{3} E_m \sin(\omega \tau_1 - \gamma) + V_{c0} - r I_d \tag{15}$$

この期間末期のコンデンサ電圧  $V_{AC}(\tau_1)$  は次式のようになる。

$$V_{AC}(\tau_1) = \sqrt{3} E_m \sin(\omega \tau_1 - \gamma) - r I_d \tag{16}$$

(2) 重なり期間 この期間においては、 $r$  を無視した場合の(8)式に代わり次の回路方程式が成立する。

$$\begin{aligned} \ell \frac{di_c}{d\tau} + r i_c + e_c' + V_{AC}(\tau_1) + \frac{1}{C'} \int_0^\tau i_c d\tau \\ = \ell \frac{di_a}{d\tau} + r i_a + e_a' \end{aligned} \tag{17}$$

初期条件  $i_c(0) = I_d$  を用いて、(7)式と(17)式の連立微分方程式を解くと、

$$\left. \begin{aligned} i_c(\tau) &= I_d \{ \mu e^{-k\tau} \cos(\beta_0 \tau - \theta) + \sigma \sin(\omega \tau + \alpha + \phi) \} \\ i_a(\tau) &= I_d - i_c(\tau) \end{aligned} \right\} \tag{18}$$

ただし、

$$k = r / 2\ell, \quad \beta_0 = \sqrt{\omega_0^2 - k^2}$$

$$\phi = \tan^{-1} \{ (1 / \omega C' - 2\omega \ell) / r \},$$

$$\varphi = \tan^{-1}(\omega C' r),$$

$$\begin{aligned} z_0 = \{ 1 - \sigma \sin(\alpha + \varphi) \} + j \{ -\sigma \omega \{ \lambda^2 \\ \sqrt{1 + (\omega C' r)^2} \cos(\alpha + \phi - \varphi) + V_{AC}(\tau_1) / \\ (2\omega \ell I_m) + \sigma r / \omega \} / \beta_0 \}, \end{aligned}$$

$$\mu = |z_0|, \quad \theta = \arg\{z_0\}$$

この期間のコンデンサ電圧  $V_{AC}(\tau)$  は、

$$\begin{aligned} V_{AC}(\tau) &= V_{AC}(\tau_1) + \frac{I_d}{C'} \left[ \frac{\mu}{\omega_0} \{ \cos(\varepsilon - \theta) - \right. \\ & e^{-k\tau} \cos(\beta_0 \tau - \theta + \varepsilon) \} + 2 \frac{\sigma}{\omega} \sin \\ & \left. \left( \frac{\omega \tau}{2} + \alpha + \phi \right) \sin \frac{\omega \tau}{2} \right] \end{aligned} \tag{19}$$

ただし、 $\varepsilon = \tan^{-1}(\beta_0 / k)$  である。

$i_c(\tau) = 0$  までこの期間は続くから、期間  $\tau_1$  は次の超越方程式を解くことにより求められる。

$$\begin{aligned} I_d \{ \mu e^{-k\tau_2} \cos(\beta_0 \tau_2 - \theta) + \sigma \sin(\omega \tau_2 + \alpha + \phi) \} \\ = 0 \end{aligned} \tag{20}$$

この  $\tau_2$  を(19)式に代入することによりコンデンサ電圧  $V_{AC}(\tau_2)$  が求まる。

(15)式から次式を得る

$$\begin{aligned} r I_d + \frac{I_d}{C'} \tau_1 - 2\sqrt{3} E_m \sin \alpha - \frac{2I_d}{C'} \\ \left[ \frac{\mu}{\omega_0} e^{-k\tau_2} \sin \left( \frac{\beta_0 \tau_2}{2} - \varepsilon + \theta \right) \sin \frac{\beta \tau_2}{2} \right. \\ \left. + \frac{\sigma}{\omega} \sin \left( \frac{\omega \tau_2}{2} + \alpha + \phi \right) \sin \frac{\omega \tau_2}{2} \right] = 0 \end{aligned} \tag{21}$$

(3) 単流期間 この期間における電流は前節と全く同じである。

2・3 インバータ出力と同期機出力

同期機の瞬時出力  $p_o$  は

$$p_o = e_a' i_a + e_b' i_b + e_c' i_c \tag{22}$$

で与えられる。その平均値  $P_o$  を抵抗  $r$  を無視した場合について求めると、

$$\begin{aligned} P_o &= \frac{3\sqrt{3}}{\pi} E_m I_d \left\{ \cos \alpha - \frac{\mu}{2\lambda_1^+} \sin \right. \\ & \left. (\lambda_1^+ \omega \tau_2 + \alpha - \phi) \sin \lambda_1^+ \omega \tau_2 - \frac{\mu}{2\lambda_1^-} \sin \right. \\ & \left. (\lambda_1^- \omega \tau_2 + \alpha + \phi) \sin \lambda_1^- \omega \tau_2 - \frac{\sigma}{2} \cos \right. \\ & \left. (\omega \tau_2 + 2\alpha + \phi) \sin \omega \tau_2 - \frac{\sigma \omega \tau_1}{2} \cos \phi \right\} \end{aligned} \tag{23}$$

ただし、

$$\lambda_1^- = (1 + \lambda) / 2, \quad \lambda_1^+ = (1 - \lambda) / 2$$

電機子抵抗を考慮した場合には次のようになる。

$$\begin{aligned} P_o &= \frac{3\sqrt{3}}{\pi} E_m I_d \left[ \frac{\mu}{2\xi^+} \{ e^{-k\tau_2} \cos(\lambda_2^+ \omega \tau_2 - \varepsilon + \alpha \right. \\ & - \theta_1) - \cos(\alpha - \varepsilon - \theta_1) \} - \frac{\mu}{2\xi^-} \{ e^{-k\tau_2} \cos \\ & (\lambda_2^- \omega \tau_2 - \varepsilon - \alpha - \theta_2) - \cos(\varepsilon + \alpha + \theta_2) \} + \frac{\sigma^2}{2} \\ & \left. \{ \omega \tau_2 - \cos(\omega \tau_2 + 2\alpha + 2\phi) \sin \omega \tau_2 \} \right] \end{aligned}$$

$$+ \cos \alpha - \frac{1}{2} \sigma \omega \tau_2 \cos \phi \} \quad (24)$$

また, インバータ出力の平均値  $P_1$  は次式から求まる。

$$P_1 = \frac{6}{T} \int_0^{T/6} (v_a i_a + v_b i_b + v_c i_c) dt \quad (25)$$

電機子抵抗を無視した場合の  $P_1$  は(23)式の  $P_0$  に等しい。電機子抵抗を考慮した場合には(24)式の  $P_0$  に電機子銅損を加えたものになる。したがって,

$$P_1 = P_0 + \frac{6}{\pi} r I_d^2 \left\{ \frac{\mu}{\lambda} \{ e^{-k \tau_2} \cos(\beta_0 \tau_2 - \varepsilon + \theta) \right.$$

$$\left. - \cos(\theta - \varepsilon) \} - 2\sigma \sin\left(\frac{\omega \tau_2}{2} + \alpha + \phi\right) \sin$$

$$\frac{\omega \tau_2}{2} + \frac{\mu^2}{4\rho} (1 - e^{-2k \tau_2})$$

$$+ \frac{\mu^2}{4\lambda} \{ \cos(\theta - 2\varepsilon) - \cos(2\beta_0 - 2\varepsilon + \theta) \}$$

$$+ \frac{\mu \sigma}{\xi} \{ \cos(\alpha - \varepsilon + \phi - \theta_1) - e^{-k \tau_2} \cos$$

$$(\lambda_2^+ \omega \tau_2 - \varepsilon + \alpha + \phi - \theta_1) \} - \frac{\mu \sigma}{\xi} \{ \cos$$

$$(\varepsilon + \alpha + \phi + \theta_2) - e^{-k \tau_2} \cos(\lambda_2^- \omega \tau_2 - \varepsilon - \alpha - \phi$$

$$- \theta_2) \} + \frac{\sigma^2}{2} \{ \omega \tau_2 - \cos(\omega \tau_2 + 2\alpha + 2\phi) \sin$$

$$\omega \tau_2 \} + \frac{\pi}{3} \} \quad (26)$$

ただし,

$$\theta_1 = \tan^{-1} \{ k / (\beta_0 + \omega) \}, \theta_2 = \tan^{-1} \{ k / (\beta_0 - \omega) \},$$

$$\rho = k / \omega$$

$$\lambda_2^+ = \beta_0 / \omega + 1, \lambda_2^- = \beta_0 / \omega - 1,$$

$$\xi^+ = \sqrt{(k/\omega)^2 + (\lambda_2^+)^2},$$

$$\xi^- = \sqrt{(k/\omega)^2 + (\lambda_2^-)^2}$$

### 3. 数値計算結果

電流形インバータにおいて転流現象の影響が大きく現われてくるのは, 後述のように比較的周波数が高い場合であり, この時には同期電動機の電機子抵抗の影響は一般に小さく, 無視できる。そこで, 本稿では電機子抵抗

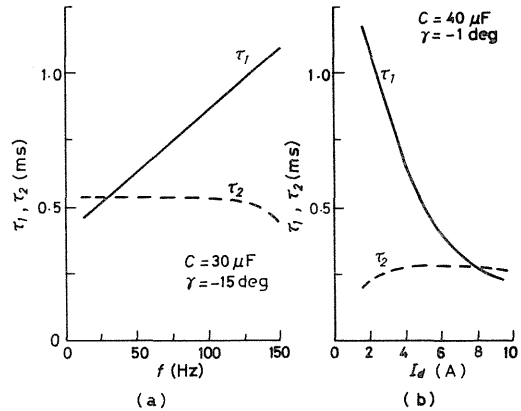


Fig. 4 Variation of  $\tau_1, \tau_2$  with frequency and dc current.

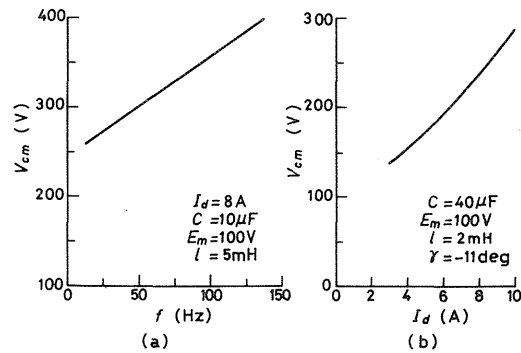


Fig. 5 Variation of capacitor voltage with frequency and dc current.

を無視した場合についてのみ数値計算を行った。

図4(a)に, 直流電流  $I_d$ 一定としたときの転流遅れ時間  $\tau_1$ , 重なり時間  $\tau_2$  と周波数の関係を示す。周波数の増大に対して  $\tau_1$  は直線的に増加するのに対し,  $\tau_2$  はほぼ一定である。その結果転流期間  $\omega \tau_c (= \omega \tau_1 + \omega \tau_2)$  は周波数の増大とともに急激に増加することを示している。同図(b)は  $\tau_1, \tau_2$  と直流電流  $I_d$  の関係を示す。  $I_d$  の減少とともに転流遅れ時間  $\tau_1$  は急激に増大する。図5に, コンデンサ電圧  $V_{cm}$  と周波数および直流電流の関係を示す。  $V_{cm}$  は周波数に対してほぼ直線的に増加し, また  $I_d$  に対してもほぼ直線的に増大することがわかる。インバータ出力の周波数による変化を図6に示す。  $I_d, E_m$ 一定であっても周波数上昇とともに出力  $P_1$  は減少する。これは図4に示すように周波数上昇とともに転流遅れ期間が増大して, 力率が低下するためである。

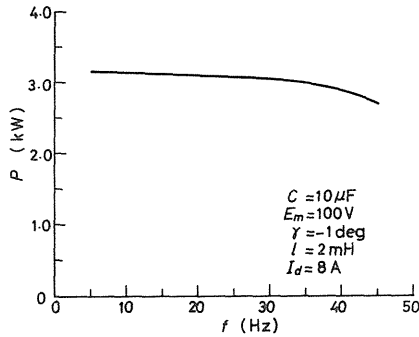


Fig. 6 Inverter output vs. frequency.

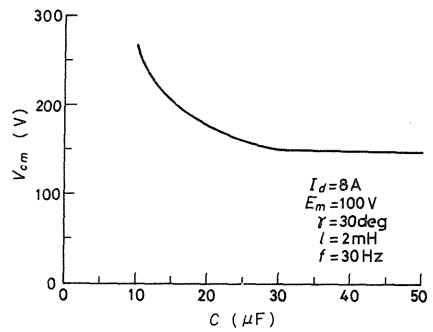


Fig. 7 Capacitor voltage vs. capacitance.

インバータ出力基本波周波数  $\omega$  に比べて  $\omega_0$  は十分に大きいから、(9)式の  $i_c$  を次式で近似する。

$$i_c \approx I_d \cos(\tau \sqrt{2\ell C'}) \quad (27)$$

上式から重なり期間  $\tau_2$  を求めると、

$$\tau_2 \approx (\pi/2) \sqrt{2\ell C'} \quad (28)$$

となり、 $\tau_2$  は直流電流  $I_d$  および周波数に無関係である。この近似式は図4に示す結果とよく一致する。つまり、 $\tau_2$  は(28)式で近似できることがわかる。

(27)式を用いてコンデンサ電圧  $V_{cm}$  を求めると、

$$V_{cm} \approx \sqrt{3} E_m \sin(\omega \tau_1 - \gamma) + \sqrt{2\ell/C'} I_d \quad (29)$$

となり  $V_{cm}$  は  $I_d$  に対してはほぼ比例し、コンデンサ容量に対しては  $1/\sqrt{C'}$  に比例する図7の傾向を知ることができる。

転流期間の大きさに着目すると、電流形インバータの動作は次の三つの動作モードに分けられる：転流期間  $\tau_c$  ( $=\tau_1 + \tau_2$ ) が  $T/6$  以下である(モードI)、転流期間  $\tau_c$  が  $T/6$  より大である(モードII)、さらに  $\tau_1$  が  $T/6$  より大きくなる(モードIII)。モードIIおよびIIIでは、転流コンデンサが直列または並列に負荷に常時接続されることになる。

モードIとIIの境界の周波数による変化を図8に、コンデンサ容量による変化を図9に示す。周波数が高くなるほど、またコンデンサ容量が大きくなるほどモードIの範囲は狭くなることがわかる。

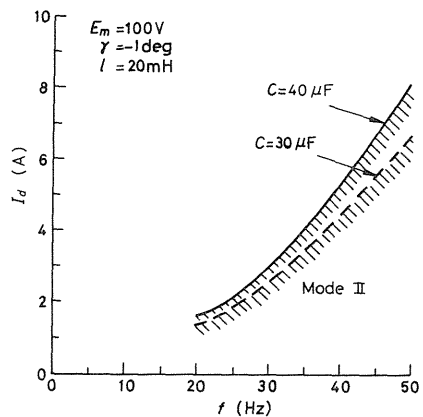


Fig. 8 Boundaries between the mode I and the mode II at given capacitances.

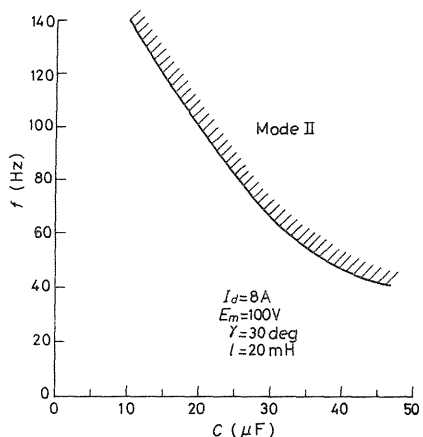


Fig. 9 Boundary between the mode I and the mode II at constant dc current.

#### 4. 実験結果

##### 4・1 実験装置の概要

主回路構成は図1の通りである。インバータの負荷として、200 V, 1 kWの巻線形誘導電動機を用い、その固定子側に直流励磁を加え、回転子側を電機子巻線として使用した。基本的な特性を検討するために、直流電流の定電流制御をかけずに実験を行った。

4・2 定常特性

直流電流  $I_d$  および同期電動機の界磁電流  $I_f$  一定のときの転流遅れ時間、重なり時間と周波数の関係の実測結果を図10に示す。解析モデルと供試機(界磁巻線の非対称に基づく広義の突極性を有する)に大きな相違があるため定量的比較は行わなかったが、図4の理論値とよくその傾向が一致することが認められる。コンデンサ電圧の周波数および直流電流による変化を図11に示す。前節で述べたように、 $V_{cm}$ は $f$ および $I_d$ に対しほぼ直線的に変化することが確認される。

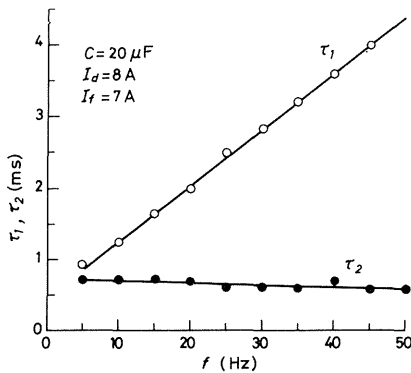


Fig. 10 Measured variation of  $\tau_1$  and  $\tau_2$  with frequencies.

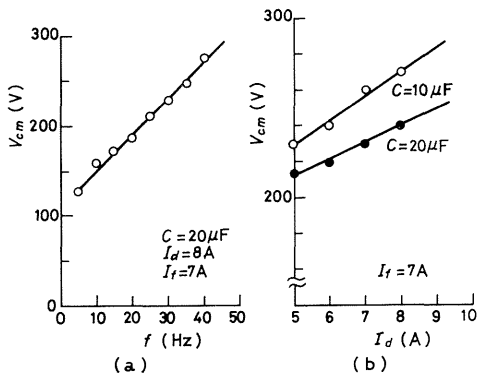


Fig. 11 Measured variation of capacitor voltage with frequency and dc current.

4・3 不安定現象の観察

直流電流  $I_d$  を 8 A (電動機定格電流に近い値) に設定し、周波数を 5 ~ 50 Hz の範囲で変化させた場合には安定な運転を行うことができた。電圧形インバータ駆動時に問題となる低周波運転時の不安定現象も観察されなかった。界磁側を短絡して誘導電動機として始動する場合に、加速して同期速度に近付くと不安定現象(電流が大きく変動)が生じるのが観察されたが、その状態で直流励磁を加えて同期に引込むと安定化した。

しかし、インバータ出力周波数をたとえば 47 Hz, 転流コンデンサ容量  $C = 30\mu F$  に設定し、直流電流  $I_d$  を徐々に減少させて行くと、転流コンデンサ電圧は階段状の波形から図12(a)に示すような波形に変形する。さらに  $I_d$  を減少して行くと同図(b)の波形になり、この時直流入力電流およびインバータ出力電流などに 3 Hz 程度の脈動が生じた。また同期電動機は乱調を起こしていた。図13は、周波数一定で同期電動機を運転時に、直流電流  $I_d$  を徐々に減少していき、乱調現象の起こる境界を実測したものである。商用周波数程度では比較的大きな直流電流(定格電流に近い値)で乱調現象が起こること、周波

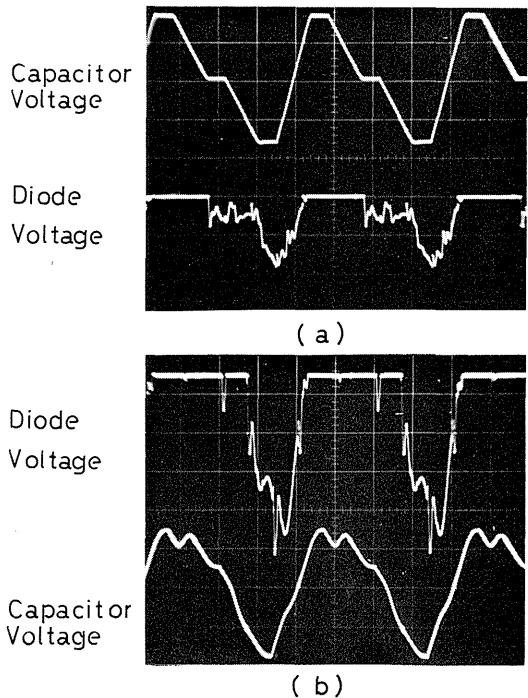


Fig. 12 Oscillogram.

数が低くなるにしたがって転流期間の影響が比較的小さくなるために安定領域は拡大し、40Hz以下では乱調発生前に同期はずれを起こすことがわかる。

図13の安定・不安定領域の傾向は、図8に示すモードIとIIの境界の理論値とよくその傾向が一致する。

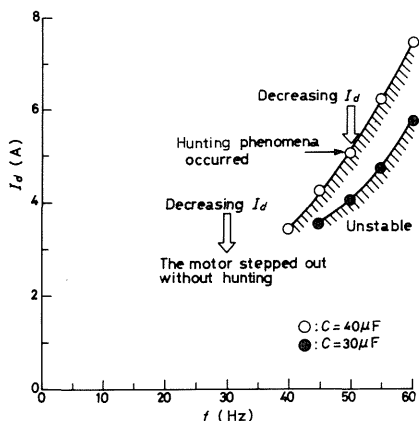


Fig. 13 Measured unstable region of an inverter-synchronous motor system.

(2) 周波数が高くなるに従って転流期間が長くなり、 $\tau_c$ が1/3周期に達すると乱調が生じる。

(3) 周波数が低いほど、直流電流が大きいほど安定領域は広くなり、また転流コンデンサ容量を小さくすることにより安定領域は拡大する。

実際の同期機にもっと近い解析モデルを用いることによって同期機定数と不安定現象の関連を定量的に把握することおよび実用的な安定化手段の開発などが今後の課題として残されている。

### 参 考 文 献

- 1) G.R.Slemon, S.B.Dewan, J.W.A.Wilson: IEEE Transactions on Industry Applications, vol. 1A-10, No. 3, pp.412-416, May/June (1974)
- 2) 野中・小山: 昭47年電気四学会九州支部連合大会 No.257
- 3) 松田ほか: 昭50年電気学会全国大会 No.770
- 4) C.M.Ong, T.A.Lipo: IEEE Transactions on Power Apparatus and Systems, vol. PAS-96, No. 4, pp.1145-1151, July/August (1977)
- 5) C.M.Ong, T.A.Lipo: *ibid.*, pp.1152-1155

## 5. む す び

以上、電流形インバータ・同期電動機系の基礎的特性を検討した結果、安定性に関しては次のことがわかった。

(1) 転流期間 $\tau_c$ が相対的に短い場合(低周波数、直流電流大)には安定な運転が行える。